

01;03

## О делении на две части сильнозаряженной капли при нелинейных колебаниях

© С.О. Ширяева, А.И. Григорьев, Д.Ф. Белоножко

Ярославский государственный университет им. П.Г. Демидова

Поступило в Редакцию 23 марта 2000 г.

В нелинейном анализе показано, что при достаточно большой амплитуде начальной виртуальной деформации четной моды капли, имеющей заряд, чуть меньший критического, капля проявляет тенденцию к делению на две равные части.

Исследование закономерностей деления сильно заряженной капли при реализации ее неустойчивости по отношению к собственному заряду проводилось неоднократно, и экспериментально, и теоретически (см., например, [1–3] и указанную там литературу). Как известно [1–5], в зависимости от вязкости капли ее распад может идти по разным каналам: путем сброса большого количества дочерних сильно заряженных капелек при малой вязкости и делением на две–три части сравнимых размеров при большой вязкости. Первый канал распада достаточно подробно исследован и экспериментально, и теоретически, чего нельзя сказать о втором канале (о делении капли на части сравнимых размеров). Так, не смотря на очевидную симметрию задачи о делении вязкой заряженной капли на две части при симметричной же виртуальной деформации, когда естественно ожидать, что дочерние капли будут иметь одинаковые размеры и заряды, теоретические работы [4,5], выполненные в линейной постановке, приводят к асимметричному распределению массы и заряда между дочерними каплями. В этой связи в настоящей работе проводится нелинейный анализ возможных тенденций к делению капель на две части. Отметим, что в [6,7] при нелинейном анализе капиллярных колебаний заряженной капли (аналитическом в [6] и численном в [7]) получены косвенные указания на возможность симметричного деления.

Пусть капля идеальной, идеально проводящей жидкости с плотностью  $\rho$  и коэффициентом поверхностного натяжения  $\gamma$  несет заряд  $Q$ . Примем, что в начальный момент времени отклонение формы капли

от сферической определяется малым возмущением  $\varepsilon$  амплитуды  $n$ -й моды линейных капиллярных колебаний, а поле скоростей — нулевое. Объем исходной капли равен объему сферы радиуса  $R$ . Будем решать методом многих масштабов в квадратичном приближении по амплитуде начального возмущения равновесной сферической поверхности задачу о расчете формы осесимметричных капиллярных колебаний такой капли в безразмерных переменных, в которых  $R = \rho = \gamma = 1$ . Математическая формулировка задачи идентична использованной в [8].

В ходе рутинной, громоздкой процедуры определяются выражения, описывающие во втором порядке малости по параметру  $\varepsilon$  форму капли в любой момент времени при различных видах начального возмущения равновесной сферической формы (когда возмущение  $\sim \varepsilon$  получают основная ( $n = 2$ ), третья ( $n = 3$ ), четвертая ( $n = 4$ ) и пятая ( $n = 5$ ) моды):

$$\begin{aligned} r = 1 - \frac{\varepsilon^2}{5} \cos^2(\omega_2 t) + \varepsilon \cos(\omega_2 t) P_2(\mu) \\ + \frac{\varepsilon^2}{\omega_2^2} \left( \chi_1 - (\chi_1 + \chi_2) \cos(\omega_2 t) + \chi_2 \cos(2\omega_2 t) \right) P_2(\mu) \\ + \frac{18}{35} \varepsilon^2 \left( \chi_3 - (\chi_3 + \chi_4) \cos(\omega_4 t) + \chi_4 \cos(2\omega_2 t) \right) P_4(\mu); \quad (1) \end{aligned}$$

$$\begin{aligned} r = 1 - \frac{\varepsilon^2}{7} \cos^2(\omega_3 t) + \varepsilon \cos(\omega_3 t) \cdot P_3(\mu) \\ + \frac{\varepsilon^2}{21\omega_2^2} \left( \chi_5 + \chi_6 \cos(\omega_2 t) - \chi_7 \cos(2\omega_3 t) \right) \cdot P_2(\mu) \\ + \frac{\varepsilon^2}{77\omega_4^2} \left( \chi_8 + \chi_9 \cos(\omega_4 t) + \chi_{10} \cos(2\omega_3 t) \right) P_4(\mu) \\ + \frac{5\varepsilon^2}{231\omega_6^2} \left( \chi_{11} + \chi_{12} \cos(\omega_6 t) + \chi_{13} \cos(2\omega_3 t) \right) P_6(\mu); \quad (2) \end{aligned}$$

$$\begin{aligned} r = 1 - \frac{\varepsilon^2}{9} \cos^2(\omega_4 t) + \varepsilon \cos(\omega_4 t) \cdot P_4(\mu) \\ + \frac{25\varepsilon^2}{2772\omega_2^2} \left( \chi_{14} + \chi_{15} \cos(\omega_2 t) - \chi_{16} \cos(2\omega_4 t) \right) \cdot P_2(\mu) \end{aligned}$$

$$\begin{aligned}
& + \frac{108\varepsilon^2}{1001\omega_4^2} \left( -\chi_{17} + \chi_{18} \cos(\omega_4 t) + \chi_{19} \cos(2\omega_4 t) \right) P_4(\mu) \\
& + \frac{15\varepsilon^2}{198\omega_6^2} \left( \chi_{20} + \chi_{21} \cos(\omega_6 t) - \chi_{22} \cos(2\omega_4 t) \right) P_6(\mu) \\
& + \frac{35\varepsilon^2}{2574\omega_8^2} \left( -\chi_{23} + \chi_{24} \cos(\omega_8 t) + \chi_{25} \cos(2\omega_4 t) \right) P_8(\mu); \quad (3)
\end{aligned}$$

$$\begin{aligned}
r = 1 - \frac{\varepsilon^2}{11} \cos^2(\omega_7 t) + \varepsilon \cos(\omega_5 t) \cdot P_5(\mu) \\
+ \frac{5\varepsilon^2}{2574\omega_2^2} \left( \chi_{26} + \chi_{27} \cos(\omega_2 t) - \chi_{28} \cos(2\omega_5 t) \right) P_2(\mu) \\
+ \frac{6\varepsilon^2}{143\omega_4^2} \left( \chi_{29} + \chi_{30} \cos(\omega_4 t) - \chi_{31} \cos(2\omega_5 t) \right) P_4(\mu) \\
+ \frac{4\varepsilon}{2805\omega_6^2} \left( \chi_{32} + \chi_{33} \cos(\omega_6 t) - \chi_{34} \cos(2\omega_5 t) \right) P_6(\mu) \\
+ \frac{7\varepsilon^2}{8151\omega_8^2} \left( \chi_{35} + \chi_{36} \cos(\omega_8 t) + \chi_{37} \cos(2\omega_5 t) \right) P_8(\mu) \\
+ \frac{441\varepsilon^2}{46189\omega_{10}^2} \left( \chi_{38} + \chi_{39} \cos(\omega_{10} t) - \chi_{40} \cos(2\omega_5 t) \right) P_{10}(\mu); \quad (4)
\end{aligned}$$

$$\mu \equiv \cos(\theta); \quad W \equiv \frac{Q^2}{4\pi}; \quad \omega_n^2 \equiv n(n-1)[(n+2) - W];$$

$$\chi_1 \equiv \frac{44 - 5W}{14}; \quad \chi_2 \equiv \frac{23W - 116}{42}; \quad \chi_3 \equiv \frac{36 - 5W}{\omega_4^2};$$

$$\chi_4 \equiv \frac{12 + W}{4(10 - W)}; \quad \chi_5 \equiv 2(44 - 3W); \quad \chi_6 \equiv 4 \frac{(3W^2 + 136W - 784)}{(56 - 11W)};$$

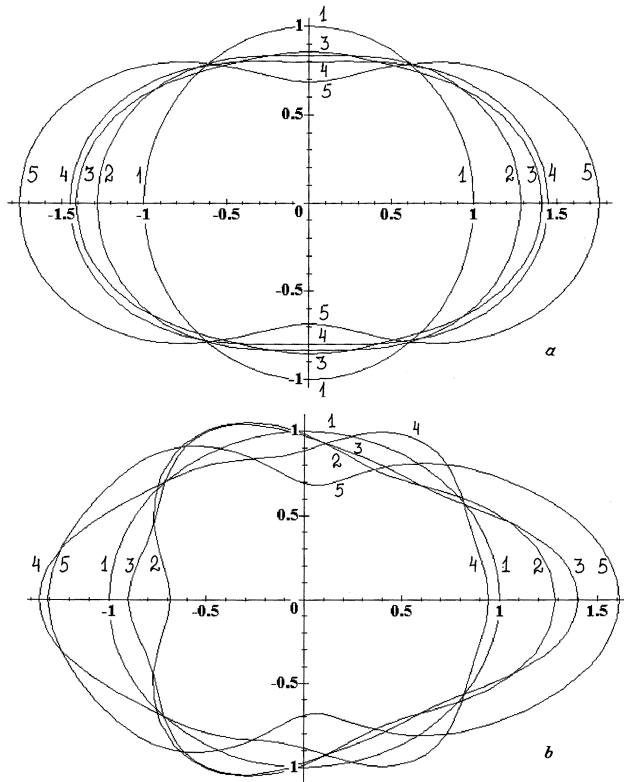
$$\chi_7 \equiv w_2^2 \cdot \frac{(224 - 39W)}{(56 - 11W)}; \quad \chi_8 \equiv 12(101 - 4W);$$

$$\chi_9 \equiv 24(251 - 59W + 5W^2)\omega_2^{-2}; \quad \chi_{10} \equiv 2(151 - 14W)\omega_2^{-2};$$

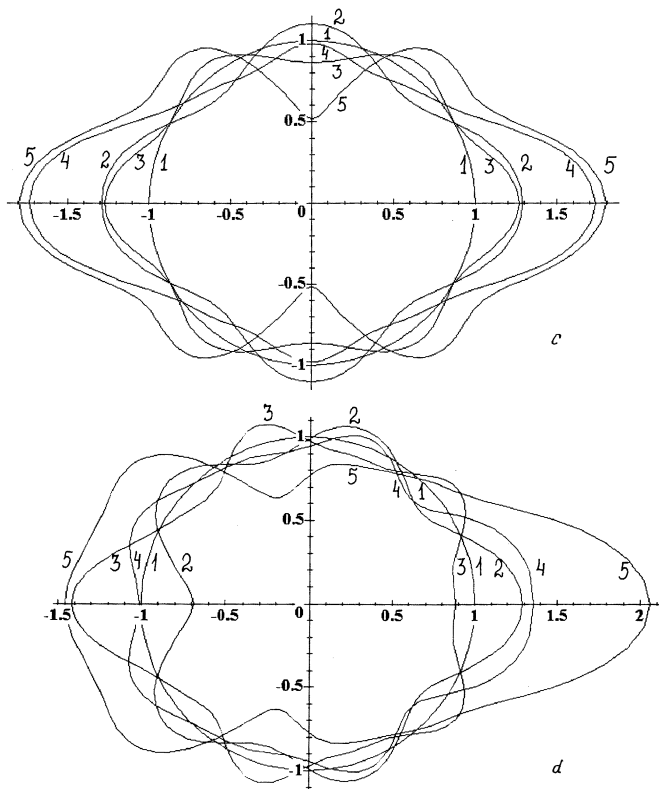
$$\chi_{11} \equiv 30(104 - 9W); \quad \chi_{12} \equiv 60 \frac{(23W^2 - 68W - 1120)}{(20 - W)};$$

$$\begin{aligned}
\chi_{13} &\equiv 5\omega_6^2 \frac{(11W - 4)}{(20 - W)}; & \chi_{14} &\equiv 26(22 - W); & \chi_{15} &\equiv \frac{32}{(140 - 23W)}; \\
\chi_{16} &\equiv \omega_2^2 \cdot \frac{(2194 - 331W)}{(140 - 23W)}; & \chi_{17} &\equiv 0.25(1236 + 3W); & \chi_{18} &\equiv (4 + 17W); \\
\chi_{19} &\equiv 0.25(602 - 65W); & \chi_{20} &\equiv (610 - 11W); \\
\chi_{21} &\equiv 240 \frac{(1010 - 37W - 3W^2)}{(8 - 3W)}; & \chi_{22} &\equiv \omega_6^2 \frac{(526 + 3W)}{6(8 - 3W)}; \\
\chi_{23} &\equiv 56(220 - 13W); & \chi_{24} &\equiv 28 \frac{(2620 + 796W - 95W^2)}{(34 - W)}; \\
\chi_{25} &\equiv \omega_8^2 \frac{7(32 - 29W)}{(34 - W)}; & \chi_{26} &\equiv 6(524 - 17W); \\
\chi_{27} &\equiv 20 \frac{(-12304 + 1688W + 5W^2)}{(92 - 13W)}; & \chi_{28} &\equiv \omega_2^2 \frac{(5396 - 713W)}{(92 - 13W)}; \\
\chi_{29} &\equiv 12(36 + W); & \chi_{30} &\equiv \frac{2(-738 - 151W + 34W^2)}{(122 - 17W)}; \\
\chi_{31} &\equiv \omega_4^2 \frac{36(162 - 17W)}{(122 - 17W)}; & \chi_{32} &\equiv 30(1028 + 21W); \\
\chi_{33} &\equiv \frac{60(6416 - 1876W + 209W^2)}{(32 - 5W)}; & \chi_{34} &\equiv \omega_6^2 \frac{(5716 - 313W)}{(32 - 5W)}; \\
\chi_{35} &\equiv 56(724 - 7W); & \chi_{36} &\equiv \frac{560(-2422 - 304W + 35W^2)}{W}; \\
\chi_{37} &\equiv \omega_8^2 \frac{7(346 + 47W)}{W}; & \chi_{38} &\equiv 90(396 - 17W); \\
\chi_{39} &\equiv \frac{180(-4464 - 2816W + 239W^2)}{(52 - W)}; & \chi_{40} &\equiv \omega_{10}^2 \frac{9(108 - 55W)}{(52 - W)}.
\end{aligned}$$

На рисунке, *a-d* приведены рассчитанные по соотношениям (1)–(4) контуры форм капли (горизонтальная ось есть ось симметрии) в различные моменты безразмерного времени при значениях параметра Рэлея  $W = Q^2/4\pi$ , близких к критическому (критическое для начала неустойчивости сферической капли значение  $W$  определено как  $W_* = 4$ ), когда начальное возмущение равновесной сферической формы задано



Контуры огибающей формы капли в различные моменты времени, когда начальное возмущение с амплитудой  $\varepsilon = 0.3$  равновесной сферической формы задано в виде виртуального возмущения различных мод. Кривая 1 определяет равновесную сферическую форму; кривая 2 — форму в начальный момент времени (сферическую форму, деформированную возмущением вида  $\varepsilon \cdot P_n(\cos \theta)$ ,  $n = 2, 3, 4, 5$ ). *a* —  $n = 2$ ;  $W = 3.9$ . Кривая 3 соответствует моменту времени  $t = 0.14 \cdot \varepsilon^{-1}$ ; кривая 4 — моменту времени  $t = 0.28 \cdot \varepsilon^{-1}$ ; кривая 5 — моменту времени  $t = 0.56 \cdot \varepsilon^{-1}$ . *b* —  $n = 3$ ;  $W = 3.8$ . Кривая 3 соответствует моменту времени  $t = 0.065 \cdot \varepsilon^{-1}$ ; кривая 4 — моменту времени  $t = 0.26 \cdot \varepsilon^{-1}$ ; кривая 5 — моменту времени  $t = 0.585 \cdot \varepsilon^{-1}$ . *c* —  $n = 4$ ;  $W = 3.8$ . Кривая 3 соответствует моменту времени  $t = 0.24 \cdot \varepsilon^{-1}$ ; кривая 4 — моменту времени  $t = 0.36 \cdot \varepsilon^{-1}$ ; кривая 5 — моменту времени  $t = 0.57 \cdot \varepsilon^{-1}$ . *d* —  $n = 5$ ;  $W = 3.8$ . Кривая 3 соответствует моменту времени  $t = 0.1 \cdot \varepsilon^{-1}$ ; кривая 4 — моменту времени  $t = 0.2 \cdot \varepsilon^{-1}$ ; кривая 5 — моменту времени  $t = 0.475 \cdot \varepsilon^{-1}$ .



(Продолжение рисунка).

в виде возмущения 2-й, 3-й, 4-й и 5-й мод соответственно. Следует отметить, что область равномерной пригодности соотношений (1)–(4) в соответствии с представлениями теории возмущений определена условием  $t < \varepsilon^{-1}$ . На самом деле выписанное ограничение по времени  $t$  еще более жесткое, что видно из приведенных иллюстраций. Кривые с номером 4 на всех рисунках построены уже на границе применимости равномерного разложения. Это следует из сравнения амплитуд результирующих отклонений поверхности капли (кривые 4)

от ее формы в начальный момент времени (кривые 2) и проявляется в очевидном несохранении первоначального объема для капель с образующими, обозначенными номером 4. Тем не менее, несложно видеть, что когда начальное возмущение равновесной формы определено четными полиномами Лежандра (см. рисунок), то образующая формы капли в любой момент времени строится из четных же полиномов и имеет симметричный относительно начала координат вид. При достаточно большом  $t$  (лежащем на границе интервала равномерности решения по  $t$ ) капля проявляет тенденцию к делению на две равные части. Если же начальное возмущение связано с нечетными полиномами Лежандра (см. рисунок), то форма капли в любой последующий момент времени асимметрична относительно начала координат, несмотря на то что за счет взаимодействия мод во втором порядке малости по  $\varepsilon$  возбуждаются только четные моды. При больших  $t$  такая капля проявляет тенденцию к асимметричному делению. Из общезначимых соображений очевидно, что учет вязкости, не принимавшейся во внимание в проведенном рассмотрении, будет приводить к затуханию всех мод. Однако декремент затухания высоких мод больше, чем у низких, и на достаточно большом временном интервале амплитуда первоначально возмущенной высокой нечетной моды может уменьшиться до нуля быстрее, чем амплитуды возбужденных ею более низких четных мод. Тогда дальнейшие колебания капли и ее возможное деление на две части будут симметричны.

*Заключение.* Симметричное деление неустойчивой сильно заряженной капли на две равные по зарядом и массам части должно иметь место. Неудачи аналитических и численных анализов, не обнаруживающих такого канала деления, по-видимому, связаны с грубостью используемых моделей. Из (1)–(4) видно, что независимо от симметрии начального возмущения колебания происходят не в окрестности сферы, а в окрестности некой, близкой к сфероиду фигуры, определяемой не зависящими от времени слагаемыми уравнений (1)–(4).

## Список литературы

- [1] Григорьев А.И., Ширяева С.О. // ЖТФ. 1991. Т. 61. В. 3. С. 19–28.
- [2] Григорьев А.И., Ширяева С.О. // Изв. РАН. МЖГ. 1994. № 3. С. 3–22.
- [3] Григорьев А.И. // ЖТФ. 2000. Т. 70. В. 5. С. 22–27.
- [4] Коромыслов В.А., Григорьев А.И., Ширяева С.О. // ЖТФ. 1998. Т. 68. В. 8. С. 31–38.

- [5] *Щукин С.И., Григорьев А.И.* // ЖТФ. 2000. Т. 70. В. 4. С. 1–7.
- [6] *Tsatomoulos J.A., Akilas T.R., Brawn R.A.* // Proc. Roy. Soc. London. 1985. V. A401. P. 67–88.
- [7] *Pelekasis, Tsatomoulos J.A., Manolis G.D.* // Phys. Fluids. 1990. V. A2. N 8. P. 1328–1340.
- [8] *Белоножко Д.Ф., Григорьев А.И.* // Письма в ЖТФ. 1999. Т. 25. В. 15. С. 41–45.